

Hiperestático de Protensão em Vigas Contínuas por Meio do Método das Cargas Nodais Equivalentes

Thiago Cunha da Silva¹
Emil de Souza Sánchez Filho²

Resumo

Estuda-se nesse artigo o efeito do hiperestático de protensão em vigas contínuas, apresentando-se um novo método para o cálculo do hiperestático de protensão em vigas contínuas protendidas. Esse método baseia-se no conceito de carga nodal equivalente aplicado na determinação dos termos de carga utilizados para transformar o carregamento externo em carregamento nodal equivalente na análise matricial de estruturas e no método dos elementos finitos. É realizado um estudo de sua aplicação de forma analítica para vigas de dois, três e quatro vãos, analisando-se o efeito do hiperestático de protensão. A protensão na viga é arbitrada de forma indeterminada, afim de tornar os resultados mais gerais possíveis. É realizada uma comparação entre os resultados obtidos com um exemplo analítico, que revelou concordância entre os resultados analisados, comprovando sua eficiência. Comparou-se o método proposto com outros métodos usualmente empregados, onde o resultado obtido foi satisfatório. Foi criada uma rotina baseada na análise matricial de estruturas com o *software* Mathcad para a determinação dos termos de carga do método das cargas nodais equivalentes. Optou-se pela utilização desse *software*, pois permite a obtenção analítica de quaisquer termos utilizados sem a necessidade de ter que atribuir valores reais, o que torna o estudo mais amplo, podendo ser utilizado em qualquer situação.

Palavras-chave: concreto protendido, hiperestático de protensão, viga contínua.

1 Introdução

O efeito do hiperestático de protensão altera o diagrama de momentos de flexão resultante em uma viga, além de originar o efeito da força cortante hiperestática. Essa alteração modifica as tensões nas seções da estrutura, o que pode gerar a formação de fissuras ou o excesso de compressão do concreto prejudicando a sua vida útil, conforme relatado em Emerick (2005) e Pfeil (1984).

O problema na definição do hiperestático de protensão consiste na determinação de sua magnitude. O hiperestático, por vezes, é definido de forma imprecisa em função das perdas de protensão que ocorrem ao longo dos traçados dos cabos e na dificuldade de adicionar esse efeito nos métodos de cálculo usuais. Os métodos mais utilizados para cálculo do hiperestático de protensão são o método da flexibilidade e o método das cargas equivalentes.

O método da flexibilidade requer o cálculo de todos os termos da matriz de flexibilidade do elemento, além de realizar a sua inversão, o que pode ser muito trabalhoso, dependendo do diagrama de momentos isostáticos da estrutura e do grau de hiperestaticidade da mesma.

O método das cargas equivalentes proposto por Guyon (1953), embora seja um dos mais utilizados, traz consigo a dificuldade de se arbitrar com precisão a carga equivalente atuante na estrutura. Kong (2004) apresentou um método de cálculo do hiperestático de protensão que consiste na determinação das linhas de influência por meio de carga e momento unitários, contudo, esse método é de difícil aplicação.

O método proposto neste artigo apresenta simplicidade de aplicação, podendo-se considerar as perdas de protensão que ocorrem ao longo da estrutura, levando a uma melhor precisão dos resultados.

1 Engenheiro civil, M. Sc. UFF – Universidade Federal Fluminense, email: thiagocunha0307@gmail.com

2 D. Sc. Professor titular da Universidade Federal Fluminense, email: emilsanchez@uol.com.br

2 Forças Nodais Equivalentes

Para a aplicação do método proposto é necessário que os efeitos da carga de protensão sejam transformados em forças nodais equivalentes. A dedução da força nodal equivalente é semelhante à dedução dos momentos de engastamento perfeito em uma barra biengastada.

Considera-se um elemento de barra biengastado protendido e aplica-se o método da flexibilidade para a obtenção dos termos de carga. A Figura 1 ilustra, de forma genérica, o elemento de barra protendido.

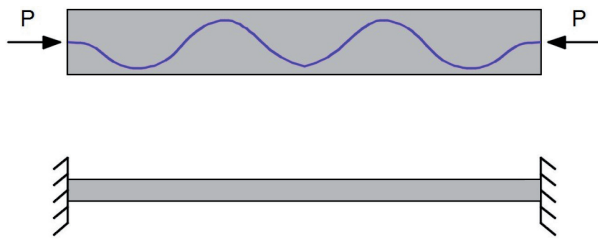


Figura 1 – Barra biengastada sujeita à protensão.

A fim de tornar o método utilizável para qualquer configuração de traçado admite-se que o cabo ao longo do elemento de viga tenha uma configuração indeterminada, produzindo um diagrama de momento de flexão não uniforme. A reação vertical é desconsiderada nos cálculos, pois não existe carga vertical devida à protensão atuando na estrutura.

A dedução das forças nodais equivalentes é obtida por meio do método da flexibilidade desconsiderando o efeito do empenamento. A Figura 2 apresenta o diagrama de momentos de flexão oriundo da protensão. Sua característica não uniforme busca representar que o método pode ser utilizado para qualquer configuração resultante do diagrama de momento de flexão isostático.

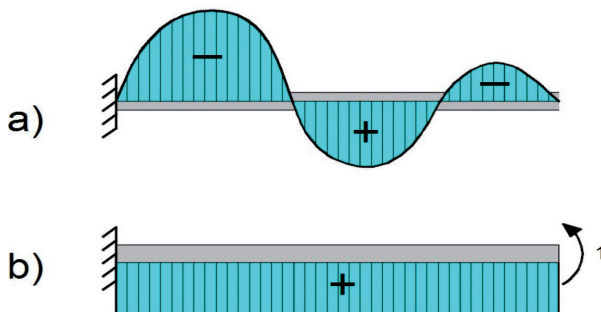


Figura 2 – Aplicação do método da flexibilidade para obtenção das forças nodais: a) diagrama de momento de flexão isostático devido à protensão; b) diagrama do momento de flexão devido à carga virtual.

Utilizando-se o método da flexibilidade e admitindo-se que a rigidez à flexão é constante ao longo da estrutura, tem-se:

$$\Delta_{11} = \int_0^L \frac{\bar{m}\bar{m}}{EI} dx = \frac{L}{EI} \quad (1)$$

$$\Delta_{10} = \int_0^L \frac{m\bar{m}}{EI} ds = \frac{\int_0^L Pz(s) ds}{EI} \quad (2)$$

que reunidos na equação de compatibilidade

$$\Delta_{1,0} + x_1 \Delta_{1,1} = 0 \quad (3)$$

resulta em:

$$x_1 = - \frac{\int_0^L Pz(s) ds}{L} \quad (4)$$

onde

- m – momento de flexão devido à protensão;
- \bar{m} – momento de flexão devido à carga unitária;
- P – força de protensão aplicada;
- L – comprimento do vão;
- EI – rigidez à flexão do vão;
- Δ_{10} – deslocamento devido à carga aplicada;
- Δ_{11} – deslocamento devido à carga unitária;
- $z(s)$ – cota do cabo de protensão.

O termo x_1 é a força nodal equivalente para a situação de engastamento perfeito da barra sujeita à protensão. Optou-se por colocar o termo referente à protensão em função de seu traçado devido às diversas configurações que o traçado de protensão pode vir a ter. A Figura 3 apresenta a carga nodal equivalente de protensão num elemento de barra.



Figura 3 – Carga nodal equivalente de protensão.

Esse método torna mais simples a análise do hiperestático de protensão, pois a protensão é substituída por um conjunto de cargas nodais equivalentes, o que possibilita a sua aplicação com maior facilidade em programas computacionais, além de poder levar em conta efeitos como o empenamento da seção.

A orientação da carga nodal é função da parcela $\int_0^L Pz(s)ds$. Se essa for positiva a orientação será igual à apresentada na Figura 3, caso contrário a orientação será no sentido oposto. Essa parcela é a área compreendida entre o centroide da seção e o cabo de protensão, que pode ser obtida por meio de qualquer *software* de desenho.

A estratégia para se utilizar esse método consiste em dividir a viga em seções, calcular a área compreendida entre o cabo de protensão e o centroide em cada seção e multiplicá-la pela força de protensão média da seção considerando-se as perdas de protensão.

A Figura 4 apresenta a estratégia para utilizar o método, considerando uma viga protendida simétrica de dois vãos com protensão ativa em ambas as extremidades.

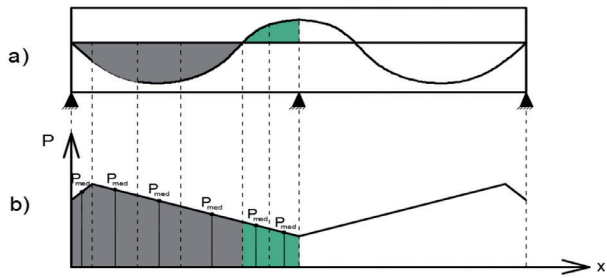


Figura 4 – Método da carga nodal equivalente para cálculo do hiperestático de protensão: a) viga protendida simétrica; b) força de protensão atuante na estrutura.

Multiplica-se a área compreendida entre o centroide e o cabo de protensão pela carga média P_{med} de protensão atuante na seção. Quanto maior for o número de seções mais preciso é o resultado.

Deve-se atentar ao sinal das áreas ao se somar a contribuição de cada seção, pois a área compreendida abaixo do centroide (área cinza) é positiva e a área compreendida acima do centroide (área verde) é negativa. Após o somatório deve-se dividir o resultado pelo comprimento do vão, obtendo-se o momento atuante nas suas extremidades.

Com os momentos aplicados na estrutura obtém-se as reações de apoio internas, que são os hiperestáticos. Deve-se em seguida aplicá-los como cargas concentradas, removendo-se os vínculos internos, deixando-se somente os apoios de extremidade. Daí tem-se assim o diagrama de momentos de flexão hiperestático.

Observa-se que a carga nodal equivalente, além de facilitar análises mais complexas, apresenta-se como parâmetro para avaliar a influência que o hiperestático de protensão tem na estrutura. Por se tratar do cálculo da área entre o centroide e o cabo, vigas que tenham

o traçado concordante, ou seja, com o somatório das áreas nulo, não geram hiperestático de protensão. Os cabos retilíneos apresentam uma maior influência do hiperestático de protensão na estrutura, por terem uma área maior entre o cabo de protensão e o centroide da estrutura.

3 Viga Contínua de Dois Vãos

Os exemplos que seguem analisam, exclusivamente, o efeito do hiperestático de protensão em vigas contínuas, sendo o efeito da protensão substituído pelo conjunto de cargas nodais equivalentes. A Figura 5 mostra os parâmetros estudados.

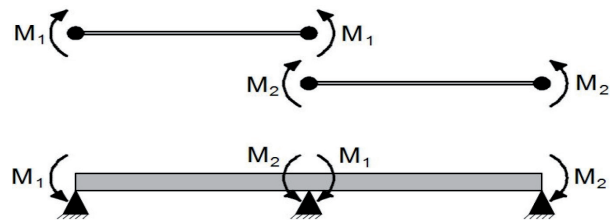


Figura 5 – Viga contínua de dois vãos.

Para facilitar a apresentação dos hiperestáticos admite-se que o comprimento dos vãos são iguais, assim:

$$L_1 = L_2$$

$$\int_0^{L_1} Pz(s)ds = \int_0^{L_2} Pz(s)ds$$

Admite-se que o traçado do cabo de protensão seja igual em ambos os vãos, isto é, a integral do momento ao longo do elemento de barra é igual nos vãos.

Os momentos M_1 e M_2 são dados pela força nodal equivalente, sendo:

$$M_1 = \frac{\int_0^{L_1} Pz(s)ds}{L_1} \tag{5}$$

$$M_2 = \frac{\int_0^{L_2} Pz(s)ds}{L_2} \tag{6}$$

Procedendo-se com os cálculos do hiperestático de protensão, que é a reação vertical do apoio intermediário que restringe a livre deformação da viga tem-se:

$$x_1 = -3 \frac{\int_0^L Pz(s) ds}{L^2} \quad (7)$$

A parcela $\int_0^L Pz(s) ds$ é referente a um vão da estrutura. Sendo essa parcela igual para ambos os vãos, basta calculá-la apenas para um deles. O valor negativo do hiperestático significa que tem sua orientação no sentido negativo do eixo, conforme ilustra a Figura 6.

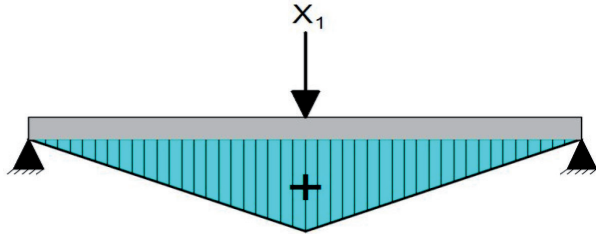


Diagrama de momento de flexão resultante

Figura 6 – Efeito do hiperestático de protensão em viga contínua de dois vãos.

O momento resultante de protensão em cada seção é dado pela soma do momento isostático de protensão com momento hiperestático de protensão

$$M_p = M_p^{isost} + M_p^{hiper} \quad (8)$$

4 Viga Contínua de Três Vãos

A Figura 7 mostra uma viga protendida para a qual admitem-se as mesmas hipóteses do item anterior, ou seja, comprimentos iguais em todos os vãos e traçados dos cabos de protensão iguais em todos os vãos.

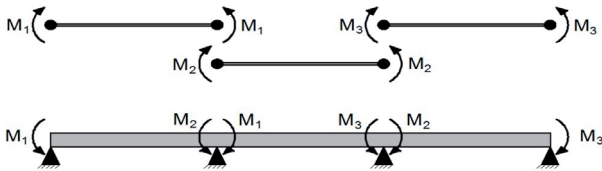


Figura 7 – Viga contínua de três vãos.

De forma análoga à expressa no item 3, calculam-se as reações de apoio para se obter os hiperestáticos de protensão, seguindo-se:

$$x_1 = -\frac{6 \int_0^L Pz(s) ds}{5L^2} \quad (9)$$

$$x_2 = -\frac{6 \int_0^L Pz(s) ds}{5L^2} \quad (10)$$

Verifica-se que:

$$x_1 = x_2$$

O valor negativo do hiperestático significa que ele tem sua orientação no sentido negativo do eixo (Figura 8).

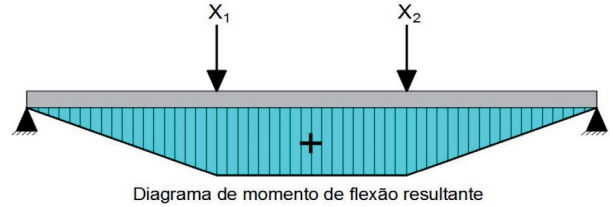


Figura 8 – Efeito do hiperestático em viga contínua de três vãos.

5 Viga Contínua de Quatro Vãos

A Figura 9 ilustra uma viga contínua protendida para a qual, seguindo-se a mesma sistemática dos itens anteriores, admitem-se as mesmas hipóteses, ou seja, comprimentos iguais em todos os vãos e traçado dos cabos de protensão iguais em todos os vãos.

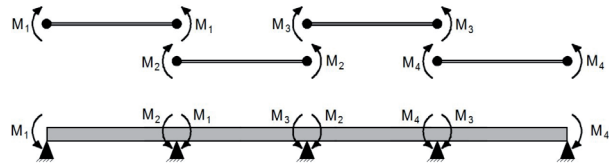


Figura 9 – Viga contínua de quatro vãos.

De forma análoga à expressa anteriormente calculam-se as reações de apoio para se obter os hiperestáticos de protensão, seguindo-se:

$$x_1 = -\frac{12 \int_0^L Pz(s) ds}{7L^2} \quad (11)$$

$$x_2 = -\frac{6 \int_0^L Pz(s) ds}{7L^2} \quad (12)$$

$$x_3 = -\frac{12 \int_0^L Pz(s) ds}{7L^2} \quad (13)$$

Verifica-se que $x_1 = x_3$ e que $x_2 = -x_1/2$.

Os hiperestáticos de protensão atuam na estrutura conforme ilustra a Figura 10. Verifica-se que nesse caso ocorre a inversão de sentido no hiperestático no apoio central, o que reduz o momento hiperestático de protensão na estrutura.

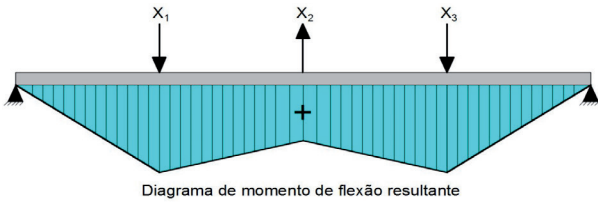


Figura 10 – Efeito do hiperestático em viga contínua de quatro vãos.

Ressalta-se que nos exemplos apresentados foram ilustrados somente o diagrama de momentos de flexão. Entretanto, pode-se utilizar o resultado dos hiperestáticos para obter a força cortante hiperestática atuante na estrutura.

6 Exemplos Numéricos

Para se avaliar a precisão do método proposto, utilizou-se o resultado do hiperestático obtido no item 3 comparado com o exemplo 15.4 de Raju (2013). Nesse exemplo a viga contínua de dois vãos tem comprimento $L = 10$ m em cada vão, excentricidade $e = 100$ mm (Figura 11). Daí tem-se o hiperestático de protensão $R = 2Pe/L$.

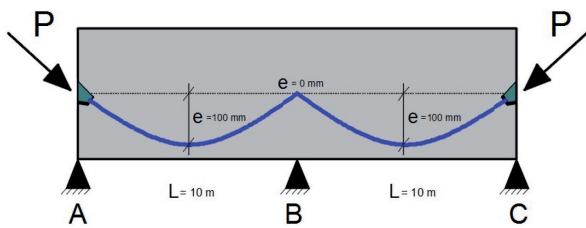


Figura 11 – Exemplo de viga contínua; adaptado de Raju (2013).

Para se calcular o hiperestático é necessário obter a equação do cabo de protensão. Esse tem a forma do diagrama isostático do momento de flexão submetido a uma carga uniformemente distribuída. A equação do cabo em cada vão é obtida por meio do método da carga equivalente, resultando numa equação do tipo:

$$M(x) = \frac{qL}{2}x - \frac{q}{2}x^2$$

onde:

$$q = \frac{8Pe}{L^2}$$

Substituindo-se no hiperestático de protensão obtido no item 3 tem-se:

$$x_1 = -3 \frac{\int_0^L Pz(x) dx}{L^2}$$

$$x_1 = -3 \frac{\int_0^L \left(\frac{qL}{2}x - \frac{q}{2}x^2 \right) dx}{L^2}$$

Simplificando-se e substituindo-se o termo de q seguem-se:

$$x_1 = -\frac{3}{L^2} \frac{8Pe}{L^2} \frac{L^3}{12}$$

$$x_1 = -\frac{2Pe}{L}$$

O fato do termo x_1 ser negativo indica que o hiperestático tem como orientação o mesmo sentido apresentado na Figura 6 do item 3. Para o traçado de protensão retilíneo, com uma excentricidade e constante ao longo da viga, o hiperestático de protensão fica:

$$x_1 = -3 \frac{\int_0^L Pz(x) dx}{L^2}$$

$$x_1 = -3 \frac{\int_0^L Pedx}{L^2}$$

$$x_1 = -3 \frac{Pe}{L^2}$$

$$x_1 = -3 \frac{Pe}{L}$$

Verifica-se que o efeito do hiperestático de protensão é mais acentuado em função da maior área entre o cabo de protensão e o centroide da seção. Esse resultado está de acordo com o que foi apresentado no item 2.

Apresenta-se como exemplo uma viga protendida simétrica de três vãos. Cada vão tem comprimento $L = 10$ m. A força de protensão aplicada é $P = 1000$ kN, constante ao longo da viga; a seção é retangular de dimensões 60×150 cm (Figura 12).

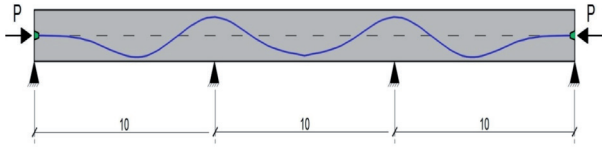


Figura 12 – Exemplo de viga contínua de dois vãos protendida, medidas em metros.

Calcula-se o hiperestático de protensão pelo método da carga distribuída equivalente comparando-se o resultado obtido com o método proposto neste artigo. A Figura 13 mostra os parâmetros utilizados para a determinação da carga distribuída equivalente.

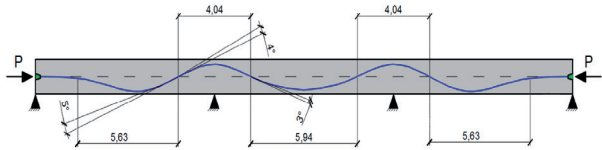


Figura 13 – Parâmetros utilizados para o método da carga distribuída equivalente, medidas em metros.

A carga distribuída pode ser aproximada para pequenos ângulos considerando-se a componente vertical da força de protensão como sendo constante:

$$q = \frac{P \cdot \sin(\varphi)}{L}$$

$$q_1 = \frac{1000 \cdot \sin 5^\circ}{5,63} = 15,48 \text{ kN/m}$$

$$q_2 = \frac{1000 \cdot \sin 4^\circ}{4,04} = 17,27 \text{ kN/m}$$

$$q_3 = \frac{1000 \cdot \sin 3^\circ}{5,94} = 8,81 \text{ kN/m}$$

Afim de facilitar sua determinação, as cargas foram obtidas de forma aproximada, considerando-se apenas três trechos ao longo da estrutura. A Figura 14 mostra a aplicação do método.

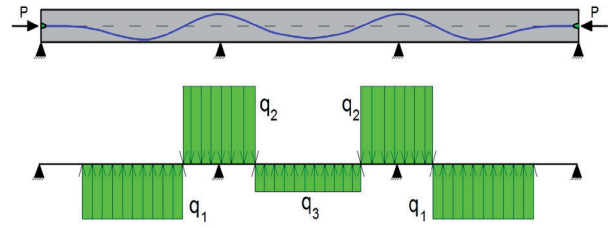


Figura 14 – Aplicação do método da carga equivalente.

A Figura 15 apresenta o resultado do diagrama de momentos hiperestáticos de protensão devidos à carga distribuída equivalente.

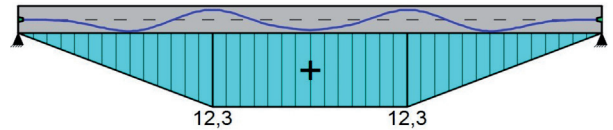


Figura 15 – Diagrama do hiperestático de protensão pelo método da carga equivalente, medidas em kN.m.

Utilizando-se o método proposto neste artigo calculam-se as áreas entre o cabo de protensão e o centroide da estrutura. As áreas em cada vão estão apresentadas na Figura 16.

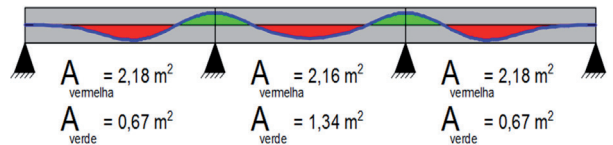


Figura 16 – Áreas entre o cabo de protensão e o centroide da seção.

O cálculo das cargas nodais equivalentes em cada vão é dado pela equação 4, seguindo-se:

$$M_1 = - \frac{(2,18 - 0,67) \cdot 1000}{10} = -151 \text{ kN} \cdot \text{m}$$

$$M_2 = - \frac{(2,16 - 1,34) \cdot 1000}{10} = -82 \text{ kN} \cdot \text{m}$$

$$M_3 = M_1$$

A Figura 17 mostra a aplicação do método proposto e o resultado dos momentos hiperestáticos de protensão atuantes na viga.

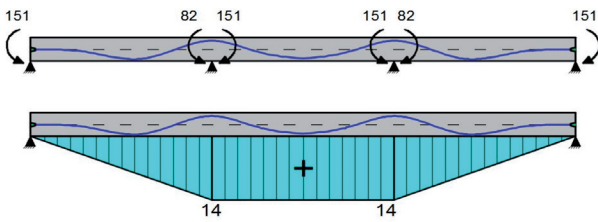


Figura 17 – Diagrama do hiperestático de protensão pelo método da carga nodal equivalente, medidas em kN.m.

Verifica-se que os resultados obtidos por ambos os métodos são bem próximos, com diferença inferior a 14%. Essa diferença pode ser atribuída às aproximações realizadas no método das cargas equivalentes, pois a determinação precisa da carga equivalente que atua na estrutura é de difícil solução. Pode-se afirmar que o método proposto representa melhor a real magnitude do hiperestático de protensão, pois não houve aproximações relevantes em sua aplicação.

Utilizando-se o método da flexibilidade para o cálculo dos hiperestáticos de protensão tem-se os mesmos resultados para os hiperestáticos obtidos nos itens 3, 4 e 5, o que confirma a eficiência do método proposto.

Entretanto, deve-se ter cautela para o cálculo do termo $\int_0^L Pz(s)ds$, pois o seu sinal é quem determina a orientação do hiperestático de protensão.

Esse método torna o cálculo de vigas contínuas protendidas mais simples, com sua fácil programação, tendo como variáveis o traçado do cabo de protensão e a força de protensão atuante em cada seção.

7 Conclusões

O método para cálculo de estruturas protendidas hiperestáticas por meio da carga nodal equivalente apresentou boa consistência e facilidade de aplicação. Essa técnica, comparada com as demais normalmente utilizadas, mostra facilidade de aplicação para qualquer grau de indeterminação da estrutura, facilitando inclusive análises mais complexas.

Verifica-se que o hiperestático de protensão tem seu valor influenciado basicamente pelo comprimento

do vão da viga, que reduz seu efeito, e pela parcela $\int_0^L Pz(s)dx$, que é a área entre o cabo de protensão e o centroide da seção multiplicado pela força de protensão, que amplifica seu efeito.

Caso seja necessário eliminar o efeito do hiperestático de protensão deve-se modificar o traçado do cabo, tentando-se buscar a sua concordância, ou seja, que a parcela $\int_0^L Pz(s)dx$ seja nula.

Referências Bibliográficas

- AMORN, Wilast; TUAN, Christopher Y; TADROS, Maher K. Curved, Precast, Pretensioned Concrete I-Girders Bridges, Civil Engineering Faculty Publications, 2008.
- COHN, M. Z; FROSTING, Y. Inelastic Behaviour of Continuous Prestressed Concrete Beams. Journal of Structural Engineering, vol. 109, nº 10, October, 1983.
- EMERICK, Alexandre Anozé. Projeto e execução de lajes protendidas. Editora Interciência, Rio de Janeiro, 2005.
- GUYON, Y; Prestressed Concrete, vols. 1 and 2, Contractors Record Ltd, London, 1953.
- KONG, Jackson. A Practical Method for the Calculation of Secondary Prestress Moments. The Hong Kong Institution of Engineers, 2004.
- MONTÁNARI, Ilio. Protensão em vigas curvas. Tese de livre docência, São Carlos, 1980.
- PFEIL, Walter. Concreto Protendido, volume 3: Dimensionamento à flexão. Rio de Janeiro: LTC – Livros Técnicos e Científicos Editora S. A., 1984.
- RAJU, Krishna. Prestressed Concrete. 4th ed. McGraw-Hill, 2013.
- ROCA, P.; MARI, A. R. Numerical treatment of prestressing tendons in the nonlinear analysis of prestressed concrete structures. Computers & Structures, nº 5, vol. 46, 1993.
- SORIANO, Humberto Lima. Análise de Estruturas – Formulação Matricial e Implementação Computacional. RJ: Editora Ciência Moderna Ltda, 2005.
- VAZ, Luiz Eloy. Método dos elementos finitos em análise de estruturas. RJ: Elsevier, 2011.